

УДК 681.142.621

В. М. КИРПИЧНИКОВ, В. В. КОВАЛЕВ
(Свердловск)

К ИССЛЕДОВАНИЮ ДИНАМИКИ
ПРЕОБРАЗОВАТЕЛЕЙ «КОД — НАПРЯЖЕНИЕ»
НА ПЕРЕКЛЮЧАТЕЛЯХ ТОКА

В настоящей работе исследуются динамические свойства переключателей стабилизированного тока (ПТ) на полевых транзисторах и цифро-аналогового преобразователя (ЦАП), построенного на их основе. Как отмечается в [1], динамические свойства ПТ можно охарактеризовать тремя параметрами: временем переключения t_n ; временем реакции t_p , под которым понимается время установления номинального тока ПТ при изменении напряжения в точке подключения под влиянием соседних разрядов ЦАП; параметром, определяемым степенью прохождения управляющего сигнала на выход ПТ. В исходном состоянии ток от стабилизатора тока (СТ) течет через ключ K_1 в нагрузку Z_n ; ключ K_2 закрыт (рис. 1). Если на вход подать положительное управляющее напряжение $U_{\text{вх}}$, то K_2 откроется, перепад напряжения U_1 закроет K_1 и на выходе получится положительный перепад напряжения. При снятии входного напряжения ключи вернутся в исходное состояние и сформируется отрицательный фронт $U_{\text{вых}}$.

Если постоянная времени управляющего сигнала $\tau_{\text{вх}}$ много меньше τ_n , то форма $U_{\text{вых}}$ в основном определяется параметрами нагрузки. Общее время формирования положительного фронта можно разделить на две составляющие: время задержки t_3^+ , которое равно отрезку времени с момента подачи управляющего воздействия до полного закрывания ключа K_1 , и время установления $U_{\text{вых}}$ ПТ с постоянной τ_n (рис. 2).

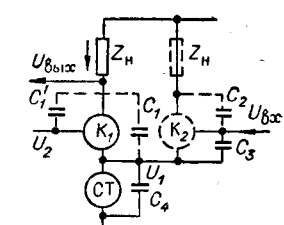


Рис. 1. Структурная схема переключателя тока.

Временная задержка t_3^+ в основном определяется параметрами управляющих сигналов и в меньшей степени элементами схемы ПТ, так как в большинстве схем ключ работает в режиме эмиттерного и истокового (для транзисторов) или катодного (для вакуумных триодов) повторителей. Благодаря низкому выходному сопротивлению такие схемы хорошо работают на емкостную нагрузку и передают фронты в режиме открывания без искажений в широком диапазоне частот.

При запирании K_2 временная задержка t_3^- может значительно превышать t_3^+ , так как при этом ключ K_2 закрыт и происходит линейный

разряд емкости C_4 постоянным током стабилизатора i_c ;

$$t_3 \approx \frac{(U_{\text{вх max}} - U_{0K_2}) C_4}{i_c},$$

где $U_{\text{вх max}}$ — максимальная амплитуда управляющего напряжения; U_{0K_2} — напряжение отсечки элемента K_2 ; C_4 — суммарная паразитная емкость, определяемая конкретной схемой. После завершения III этапа выходное напряжение устанавливается с постоянной τ_n .

Прохождение управляющего сигнала в аналоговую схему суммирования характеризует связь входного зажима ПТ с выходом. Влияние этой связи проявляется двояко: во-первых, происходит ускорение или замедление процесса установления $U_{\text{вых}}$ ПТ в результате частично го наложения управляющего и выходного сигналов, во-вторых, возникает ошибка в $U_{\text{вых}}$ при поступлении на вход ПТ помехи с амплитудой, недостаточной для переключения ПТ.

Рассмотрим влияние помехи, приходящей на вход ПТ. Если K_1 открыт и i_c поступает в цепь сброса, то помеха проходит через схему K_2 с коэффициентом передачи k_2 и поступает на выход через делитель $C_1 R_h C_h$ с коэффициентом передачи:

$$k_d = \frac{j \omega C_1 R_h}{1 + j \omega R_h (C_1 + C_h)}.$$

Для упрощения анализа в случае открытого K_1 сделаем ряд допущений: напряжение помехи не выводит элементы из линейного режима; изменение $U_{\text{вых}}$ незначительно и не оказывает влияния на режим ключа; изменения напряжения U_1 не влияют на режим СТ и последний считается идеальным; влияние C_1 невелико по сравнению с другими эффектами. С учетом этих упрощений эквивалентная схема ПТ принимает вид схемы рис. 1, за исключением элементов, изображенных штриховыми линиями. Процессы в схеме описываются системой уравнений:

$$\begin{cases} i_1 = S(U_2 - U_o - U_1); & i_2 = \text{const}; \\ i_1 + i_3 - i_2 - i_4 = 0; & \frac{d U_{\text{вх}}}{d t} - \frac{i_3}{C_3} - \frac{i_4}{C_4} = 0, \end{cases}$$

где S — крутизна характеристики усиления ключа; U_o — напряжение отсечки. После преобразований для начальных условий $U_1(0) = 0$ и $S(U_2 - U_o) = i_2$ получим

$$\frac{d U_1}{d t} + \frac{S}{C_3 + C_4} U_1 = \frac{C_3}{C_3 + C_4} \frac{d U_{\text{вх}}}{d t}.$$

Решением этого уравнения для экспоненциального $U_{\text{вх}}$ с постоянной времени установления $\tau_{\text{вх}}$ является

$$U_1 = \frac{C_3 |U_{\text{вх}}|}{S \tau_{\text{вх}} - C_3 - C_4} \left(e^{-\frac{t}{\tau_{\text{вх}}}} - e^{-\frac{t S}{C_3 + C_4}} \right). \quad (1)$$

В схеме ПТ с правым проходным ключом при оценке действия помехи необходимо определить разность между $U_{\text{вх}}$ и изменением U_1 . Для

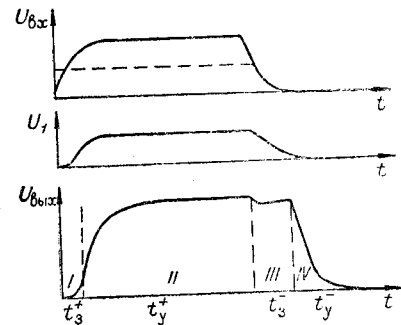


Рис. 2. Переходные процессы в ПТ.

этого воспользуемся схемой рис. 1, но вместо фиксированного напряжения U_2 подадим $U_{\text{вх}}$, соединив точку подключения U_2 с входным зажимом. Изменение тока, протекающего через ключ K_2 , пропорционально

$$\Delta = (U_{\text{вх}} - U_1) = \frac{C_4 |U_{\text{вх}}|}{S \tau_{\text{вх}} - C_3 - C_4} \left(e^{-\frac{t S}{C_3 + C_4}} - e^{-\frac{t}{\tau_{\text{вх}}}} \right). \quad (2)$$

Сравнивая (2) для правой схемы с (1) для левой, найдем

$$\frac{\Delta_{\text{п}}}{\Delta_{\text{л}}} = \frac{C_4}{C_3}.$$

Так как обычно $C_4 \gg C_3$, то на выходе правой схемы помеха значительно выше.

При закрытом K_2 и подключении нагрузки к его выходу уровень помехи определяется коэффициентом передачи делителя $C_2 R_{\text{н}} C_{\text{н}}$ (см. рис. 1)

$$K_{\text{д}} = \frac{j \omega C_2 R_{\text{н}}}{1 + j \omega R_{\text{н}} (C_{\text{п}} + C_2)}.$$

Действие помехи на первую схему в активном режиме можно значительно снизить, если подавать на K_2 не фиксированное напряжение U_2 , а напряжение, пропорциональное $U_{\text{вх}}$:

$$U_{\text{к}} = \frac{C_3}{C_3 + C_4} U_{\text{вх}}.$$

На рис. 3 приводятся экспериментальные осциллограммы переходных процессов в конкретной схеме ПТ при различных значениях $U_{\text{к}}$.

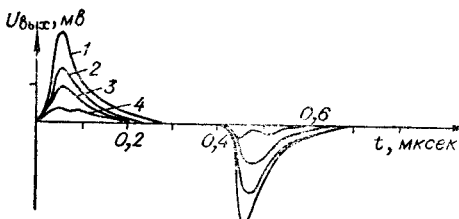


Рис. 3. Переходные процессы в ПТ с компенсацией:

$R_{\text{н}} = 3,5 \text{ к}\Omega$; $C_{\text{н}} = 20 \text{ п}\Phi$; 1 — без компенсации; 2 — $U_{\text{к}} = 0,1 U_{\text{вх}}$; 3 — $U_{\text{к}} = 0,15 U_{\text{вх}}$; 4 — $U_{\text{к}} = 0,3 U_{\text{вх}}$.

воздействует на K_1 через емкость C_3 . Это приводит к значительному увеличению тока K_1 и выбросу $U_{\text{вых}}$, уменьшить который можно, улучшая форму $U_{\text{вх}}$ (короткий фронт и вершину без спада) или увеличивая емкость C_4 , что, однако, ухудшает другие параметры переключателя.

При подключении схемы суммирования к выходу K_2 на IV этапе $U_{\text{вх}}$ и $U_{\text{вых}}$ изменяются в противофазе и происходит замедление процесса установления $U_{\text{вых}}$.

На II этапе переключения происходит процесс, аналогичный описанному формуулой (2). В момент открывания K_2 ток значительно превышает номинальное значение, что приводит к выбросу в $U_{\text{вых}}$.

При анализе структурных схем ПТ сделан ряд упрощений. Ниже приводятся результаты цифрового моделирования переходных процессов в ПТ на полевых транзисторах ТН-1.

Для анализа электронных схем на цифровой вычислительной машине (ЦВМ) необходимо иметь схемы замещения активных элементов. Строго говоря, канал полевого транзистора и переход затвора необходимо представлять в виде линий RC с распределенными параметрами, но это в значительной степени усложнит последующие расчеты. Для практических расчетов схем, аналогичных ПТ, можно использовать схему замещения, описанную в [2, 3]. Вольт-амперные характеристики аппроксимируются двумя отрезками прямых в триодной и пентодной областях. Величина выходного тока генератора тока вычисляется как функция напряжений на затворе U_3 и стоке $U_{c..n}$ из следующих соотношений, записанных с использованием [4]:

$$I = \{k_1 U_{c,n} U_{c,u} \text{sg}(U_{c,u} - U_{c,n}) + \\ + [k_1 U_{c,n}^2 + k_2(U_{c,n} - U_{c,u})] \times \\ \times \overline{\text{sg}}(U_{c,n} - U_c)\} \text{sg}(U_{3,0} - U_3),$$

где K_1 и K_2 — коэффициенты, определяемые из характеристик конкретных приборов; $U_{\text{с.н}} = U_3 - U_{3.0}$; $U_{3.0}$ — напряжение на затворе в режиме отсечки.

Схема замещения полевого триода [2, 3] аналогична схеме замещения вакуумного триода, которая использована при расчетах в [5]; отличие заключается в отсутствии емкости катод — подогреватель.

На ЦВМ исследована математическая модель, описывающая переходные процессы в схеме замещения ПТ, приведенной на рис. 4. Систему уравнений в матричной форме запишем в виде

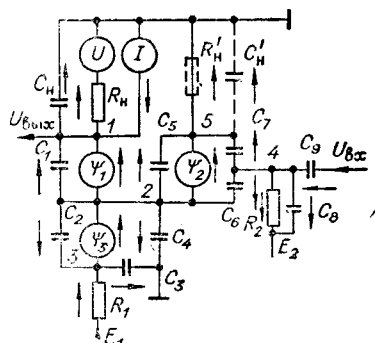


Рис. 4. Схема замещения ПТ на полевых триодах:

$$E_1=25 \text{ e}; R_H = R_H = 5 \text{ км}; R_1=5,4 \text{ км}; \\ R_2=300 \text{ км}; C_{1,2,5,8}=\mathbf{0,3} \text{ нф}; \\ C_{11}=C_{11}=6 \text{ нф}; C_3=5 \text{ нф}; C_6=3 \text{ нф}; \\ C_7=1 \text{ нф}; C_8=1000 \text{ нф}$$

$$\begin{pmatrix} (C_1 + C_{\text{H}}) & -C_4 & 0 & 0 & 0 \\ (C_1 + C_5)(C_1 + C_2 + C_4 + C_5 + C_6) & -C_2 & -C_6 & -(C_1 + C_5) \\ 0 & -C_2 & (C_2 + C_3) & 0 & 0 \\ 0 & -C_3 & 0 & (C_6 + C_7 + C_8 + C_9) & -C_7 \\ 0 & -C_5 & 0 & C_7 & (C_5 + C_7 + C_{\text{H}}) \end{pmatrix} \times \\ \times \begin{pmatrix} U'_1 \\ U'_2 \\ U'_3 \\ U'_4 \\ U'_5 \end{pmatrix} = \begin{pmatrix} \Psi_1 + i_{15} - \frac{U_1}{R_{\text{H}}} \\ \Psi_2 + \Psi_3 - \Psi_1 \\ \frac{U_3 - E_1}{R_1} - \Psi_3 \\ C_1 \frac{d U_{\text{BX}}}{d t} - \frac{U_4 - E_2}{R_2} \\ \frac{U_5}{R_{\text{H}}} - \Psi_2 \end{pmatrix}.$$

Проанализированы две модификации ПТ: в первой эквивалент нагрузки подключается к выходу генератора тока Ψ_1 , во второй — к выходу Ψ_2 .

Таблица 1

Выход	$\tau_{\text{вх}}, \text{мкsec}$	$i_c = 1,0 \text{ ма}$		$i_c = 0,6 \text{ ма}$		$i_c = 0,35 \text{ ма}$	
		t_y^-	t_y^+	t_y^-	t_y^+	t_y^-	t_y^+
Левый	0,025	0,245	0,225	0,220	0,275	0,170*	0,460
	0,0125	0,230	0,275	0,220	0,340	0,190*	0,500
	0,00625	0,225	0,280	0,210	0,340	0,200	0,510
Правый	0,025	0,290	0,285*	0,300	0,380*	0,320	0,46*
	0,0125	0,270	0,250*	0,290	0,320*	0,320	0,42*
	0,00625	0,270	0,25	0,280	0,280*	0,320	0,39*

В табл. 1 приведены зависимости времени установления t_y^- и спада t_y^+ выходного напряжения от постоянной установления $\tau_{\text{вх}}$ входного экспоненциального сигнала для трех значений тока стабилизации (величина тока задается изменением E_1). Время установления напряжения $U_{\text{вых}}$ до уровня 0,001 практически не зависит от $\tau_{\text{вх}}$ и величины i_c . Изменение t_y с уменьшением i_c , а следовательно, величины $U_{\text{вых}}$ объясняется относительным увеличением эффекта прохождения $U_{\text{вх}}$ при закрытом ключе. В первой схеме этот эффект проявляется в уменьшении t_y^- с появлением выброса в 1,5 мв при $i_c = 0,352 \text{ ма}$ (звездочки помечены данные, полученные из кривых переходных процессов, имеющих выброс) и в затягивании t_y во второй схеме.

Увеличение t_y^+ при уменьшении i_c в первой схеме объясняется увеличением времени t_z^- при открывании Ψ_1 (см. рис. 2). Во второй схеме ток в первый момент значительно превышает номинальный, поэтому во всех случаях в $U_{\text{вых}}$ имеются выбросы. Увеличение тока пропорционально $\Delta = \Delta U_s - \Delta U_i$ и должно быть, согласно (2), максимально при $\tau_{\text{вх}} = 0,00625 \text{ мкsec}$. Однако ввиду комплексности нагрузки $\Delta U_{\text{вых max}}$ наблюдается при $\tau_{\text{вх}} = 0,025 \text{ мкsec}$.

Помехозащищенность схем исследовалась путем «подачи» на вход схемы замещения экспоненциальных импульсов с различными постоянными временем $\tau_{\text{вх}}$ и амплитудой, недостаточной для переключения. На рис. 5 сплошными линиями даны кривые максимальной погрешности $\Delta U_{\text{вых}}$ для первой схемы, штриховыми — для второй. Кривые 2—4, 6—8 соответствуют случаю, когда ток поступает в нагрузку, 9—12 — в цепь сброса. Для сравнения приведены кривые максимальной погрешности 1 и 5, рассчитанные по формулам (1) и (2) с учетом емкости нагрузки. Расхождение в 20—25% для второй схемы (кривая 1) объясняется тем, что при выводе (2) не учитывалось влияние емкости C_7 (см. рис. 4). Отличие в напряжениях на общих источниках составляет не более 1—3%. Расчетные значения погрешности хорошо совпадают с экспериментальными.

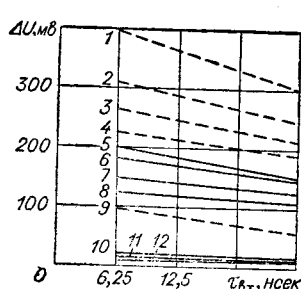


Рис. 5. Напряжение помехи на выходе ПТ:

$U_{\text{вх}} = 1 \text{ в}; 1, 2, 5, 6, 10 - i_c = 1 \text{ ма};$
 $3, 7, 11 - i_c = 0,6 \text{ ма}; 4, 8, 12 - i_c = 0,35 \text{ ма}; 9 - \text{для всех значений тока}.$

Для определения реакции схемы ПТ на изменение напряжения на его зажимах применимы два способа: напряжение в точке подключения можно изменять с помощью генераторов напряжения U или тока I (см. рис. 4). Оба метода дают идентичные результаты.

В табл. 2 приводятся значения t_y номинального значения тока при изменении узлового напряжения на 1 в для трех значений i_c . В скобках приведены значения $\Delta t = t_{y,0} - t_{y,0}$, где $t_{y,0}$ — время установления экспоненциального сигнала с $\tau = R_h(C_h + C_1)$ до уровня 0,999 для соответствующих значений i_c .

Таблица 2

$i_c, \text{ма}$	$t_y, \text{мкsek}$		
	$C_4 = 3 \text{ пФ}$	$C_4 = 6 \text{ пФ}$	$C_4 = 12 \text{ пФ}$
1,0	0,175 (0,008)	0,190 (0,023)	0,225 (0,058)
0,6	0,195 (0,015)	0,220 (0,040)	0,290 (0,110)
0,35	0,250 (0,048)	0,330 (0,128)	0,460 (0,258)

Табл. 3 иллюстрирует зависимость t_y от величины перепада узлового напряжения ($i_c = 0,35 \text{ ма}$). Для сравнения приведены значения t_y экспоненциального сигнала соответствующей амплитуды.

Определяющее влияние на время реакции оказывает емкость C_4 ; влияние остальных элементов стабилизатора тока незначительно. Аналогичный вывод сделан при исследовании более сложного переключателя в [5] и подтвержден экспериментально (в действующей схеме ЦАП сопротивление R_1 в ПТ шунтируется добавочной емкостью). На

Таблица 3

$\Delta U, \text{в}$	$t_y, \text{мкsek}$	$t_s, \text{мкsek}$	$\Delta t, \text{мкsek}$
0,5	0,30	0,18	0,12
1,0	0,33	0,202	0,128
1,5	0,36	0,214	0,148
2,0	0,38	0,230	0,150

рис. 6 приведена зависимость t_y в функции R_h . Продолжив графики до пересечения с осью ординат, можно получить значение реакции собственно ПТ.

Значительное действие на форму $U_{\text{вых}}$ оказывает емкость C_6 . Если C_6 сравнима с C_4 или больше ее, то при открывании транзистора Ψ_1 происходит значительное увеличение выходного тока ПТ с появлением выброса в выходном напряжении.

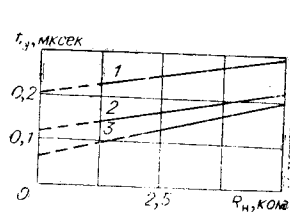


Рис. 6. Зависимость времени реакции от сопротивления нагрузки:
1 — $C_4 = 12 \text{ пФ}$; 2 — $C_4 = 6 \text{ пФ}$;
3 — $C_4 = 3 \text{ пФ}$; $i_c = 0,6 \text{ ма}$;
 $\Delta U = 1 \text{ в}$.

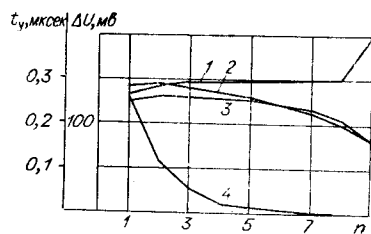


Рис. 7. Зависимость времени установления и напряжения помехи от номера разряда в девятиразрядном ЦАП.

При $U_{\text{вых}} = 5 \text{ в}$ и $\tau_{\text{вх}} = 0,025 \text{ мксек}$ выбросы достигают $2,22 \text{ в}$ ($C_9 = 24 \text{ пФ}$), $0,8 \text{ в}$ (12 пФ), $0,15 \text{ в}$ (6 пФ), $0,0015 \text{ в}$ (3 пФ). При этом время установления $U_{\text{вых}}$ с точностью 0,999 происходит соответственно за $0,43 \text{ мксек}$, $0,40 \text{ мксек}$, $0,31 \text{ мксек}$, $0,19 \text{ мксек}$. При $C_9 = 1,5 \text{ пФ}$ выброс отсутствует и $t_y = 0,25 \text{ мксек}$.

С использованием схемы замещения ПТ (см. рис. 4) построена модель девятиразрядного преобразователя с суммированием токов на матрице сопротивлений $R - 2R$ и проведены исследования на быстродействие и помехоустойчивость такой схемы. Отдельные результаты приведены на рис. 7.

Кривые 2 и 3 иллюстрируют зависимость t_y^- и t_y^+ от номера разряда в схеме с подключением нагрузки к левым выходам ПТ, причем $U_{\text{вх}}$ считается установленным, если его величина отличается от идеально-го на половину веса младшего разряда. Величины емкостей и сопротивлений аналогичны значениям, принятым в схеме рис. 4; $C_{\text{узл}_1} = 6 \text{ пФ}$, $C_{\text{узл}_2-9} = 3 \text{ пФ}$. Величины сопротивлений $R - 2R$ равны соответственно $7,5$ и 15 кОм .

Зависимость изменения напряжения в точках подключения ПТ и на выходе преобразователя при действии на входах ПТ помехи амплитудой 1 в и $\tau = 0,025 \text{ мксек}$ иллюстрируется кривыми 1 и 4 соответственно. Погрешность в $U_{\text{вых}}$ при одновременном воздействии помехи на входы всех разрядов составляет 228 мВ , что меньше суммы $\Delta U_{\text{вых},i}$, так как моменты времени, соответствующие $\Delta U_{\text{вых},\text{так}}$, сдвигаются по отношению к первому разряду в сторону увеличения. Зависимость $\Delta U_{\text{вых}}$ от амплитуды помехи линейная, если под воздействием помехи ПТ остается в неизменном состоянии (закрытом или открытом).

Выводы

В ПТ основное влияние на динамику оказывают емкости C_4 и C_6 . Уменьшение C_4 повышает быстродействие схемы, однако увеличение отношения C_6/C_4 может привести к значительным искажениям $U_{\text{вых}}$ и ухудшению быстродействия.

Если постоянная времени установления $U_{\text{вх}}$ в 2—5 раз меньше постоянной установления $U_{\text{вых}}$, то время установления определяется параметрами суммирующей схемы, емкостями в точках подключения ПТ и C_n .

В схеме суммирования с переключателями тока на полевых транзисторах вполне достижимо быстродействие порядка 2 млн. преобразований в секунду при 10—11 двоичных разрядах.

ЛИТЕРАТУРА

1. В. А. Аладжиков, В. М. Кирпичников, В. В. Ковалев. Исследование математических моделей одного класса цифро-аналоговых преобразователей.—Тезисы докладов III Всесоюзной конференции по аналоговой технике. М., 1969.
2. И. П. Степаненко. Основы теории транзисторов и транзисторных схем. М., «Энергия», 1967.
3. Л. Севин. Полевые транзисторы. М., «Советское радио», 1968.
4. В. М. Кирпичников, Г. И. Михайловский. Применение пороговых функций для описания и анализа аналого-цифровых схем.—В сб. «Теория аналоговых и комбинированных вычислительных машин». М., «Наука», 1969.
5. В. М. Кирпичников, В. В. Ковалев. Исследование динамики переключателя тока преобразователя «аналог — код».—Автометрия, 1968, № 5.

Поступила в редакцию
28 января 1970 г.
окончательный вариант —
28 мая 1970 г.